

**Zeitschrift:** Orion : Zeitschrift der Schweizerischen Astronomischen Gesellschaft  
**Band:** - (1957)  
**Heft:** 55

**Artikel:** Mars : présentation 1956  
**Autor:** Antonini, E. / Cortesi, S. / Keller, M.  
**DOI:** <https://doi.org/10.5169/seals-900351>

### **Nutzungsbedingungen**

Die ETH-Bibliothek ist die Anbieterin der digitalisierten Zeitschriften. Sie besitzt keine Urheberrechte an den Zeitschriften und ist nicht verantwortlich für deren Inhalte. Die Rechte liegen in der Regel bei den Herausgebern beziehungsweise den externen Rechteinhabern. [Siehe Rechtliche Hinweise.](#)

### **Conditions d'utilisation**

L'ETH Library est le fournisseur des revues numérisées. Elle ne détient aucun droit d'auteur sur les revues et n'est pas responsable de leur contenu. En règle générale, les droits sont détenus par les éditeurs ou les détenteurs de droits externes. [Voir Informations légales.](#)

### **Terms of use**

The ETH Library is the provider of the digitised journals. It does not own any copyrights to the journals and is not responsible for their content. The rights usually lie with the publishers or the external rights holders. [See Legal notice.](#)

**Download PDF:** 01.11.2024

**ETH-Bibliothek Zürich, E-Periodica, <https://www.e-periodica.ch>**

# ORION

Mitteilungen der Schweizerischen Astronomischen Gesellschaft  
Bulletin de la Société Astronomique de Suisse

JANUAR — MÄRZ 1957

No. 55

5. Heft von Band V — 5me fascicule du Tome V

## Mars: présentation 1956

### Rapport No. 2 du „Groupement planétaire SAS”

Observateurs: E. Antonini, Genève (réfracteur 162 mm)  
S. Cortesi, Lugano (réflecteur 250 mm)  
M. Keller, Genève (réflecteur 300 m)

La planète fut suivie à partir du 30 mai. De cette date au 10 novembre, 70 observations furent faites par les membres du groupement, avec un total de 65 dessins complets ou partiels (dont 18 à Lugano).

*Images:* Les images furent malheureusement assez médiocres. On peut distinguer à ce point de vue trois périodes (Genève):

1) du 30 mai au 20 août: observations effectuées entre 2 et 4 heures du matin, images passables (24 observations, moyenne: 4,85 sur 10);

2) du 21 août au 14 septembre: heures d'observation: minuit—1 heure du matin, déclinaison encore plus défavorable de la planète: images franchement mauvaises (11 observations, moyenne: 2,7);

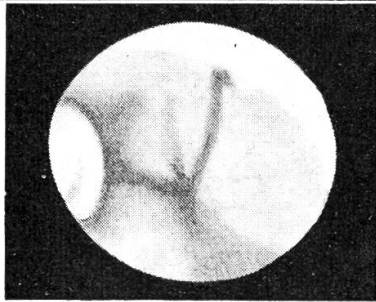
3) du 15 septembre au 22 octobre: observations de plus en plus tôt le soir: images médiocres à passables (15 observations, moyenne: 4,6).

C'est donc aux alentours de l'opposition que les images furent les plus mauvaises, réduisant à néant l'avantage du plus grand rapprochement, ce qui est toujours le cas pour nous, observateurs de l'hémisphère boréal.

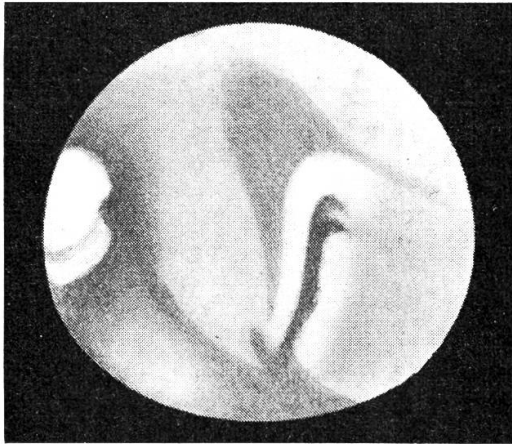
A Lugano les images ont été encore plus défavorables, car on a eu une moyenne générale de 3,3 seulement, avec les meilleures images cotées 5! (échelle Flammarion de 0 à 10).

#### *Grossissements utilisés.*

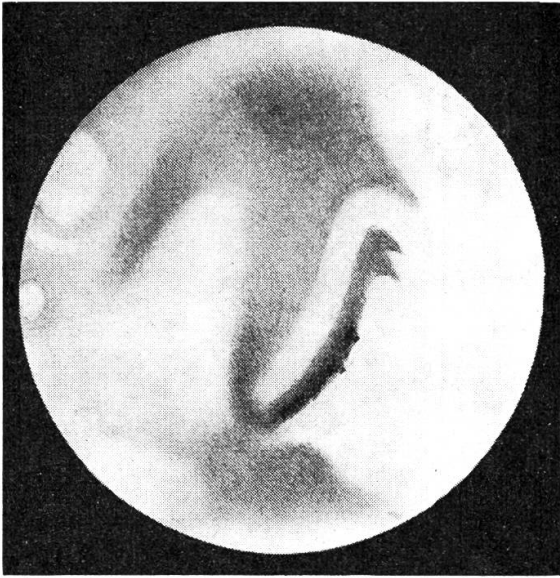
*Genève:* Ce fut presque constamment le 220 × réalisé au moyen d'un oculaire orthoscopique de Zeiss de 12,5 mm de focale. Des oculaires plus puissants, essayés à plusieurs reprises (270 ou 310 ×) ne purent jamais être utilisés avec profit. Par contre, lorsque les images étaient très mauvaises, il fallut souvent se contenter d'un grossissement de 155 × seulement.



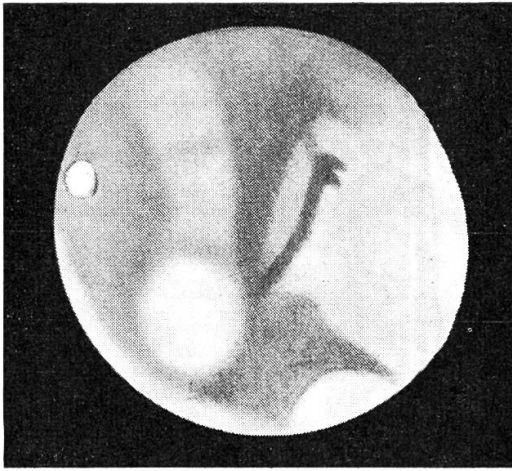
①  
 Juin 27, 2 h. 55  
 $\omega = 318^{\circ}$   
 $\varphi = -20^{\circ}, 6$   
 $\eta = 300^{\circ}, 6$   
 $D = 14^{\prime}, 5$   
 $Ph = 1^{\prime}, 9, 220 \times$   
 $Im. = 6$



②  
 Juillet 31, 2 h. 30  
 $\omega = 351^{\circ}$   
 $\varphi = -19^{\circ}, 9$   
 $\eta = 322^{\circ}$   
 $D = 20^{\prime}$   
 $Ph = 1^{\prime}, 4$   
 $220 \times$   
 $Im. = 7$



③  
 Septembre 4, 23 h. 35  
 $\omega = 343^{\circ}, 7$   
 $\varphi = -19^{\circ}, 2$   
 $\eta = 344^{\circ}$   
 $D = 24^{\prime}, 7$   
 $220 \times$   
 $Im. = 4-5$

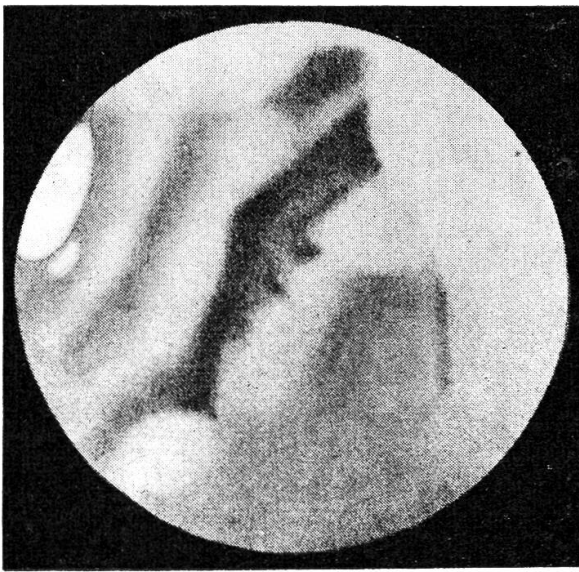


④  
 Octobre 11, 20 h. 25  
 $\omega = 327^{\circ}, 5$   
 $\varphi = -21^{\circ}$   
 $\eta = 7^{\circ}$   
 $D = 20^{\prime}, 6$   
 $Ph = 0^{\prime}, 9, 220 \times$   
 $Im. = 7$

OPPOSITION DE MARS 1956  
 Région du Sinus Sabaeus

Heures en T. U.

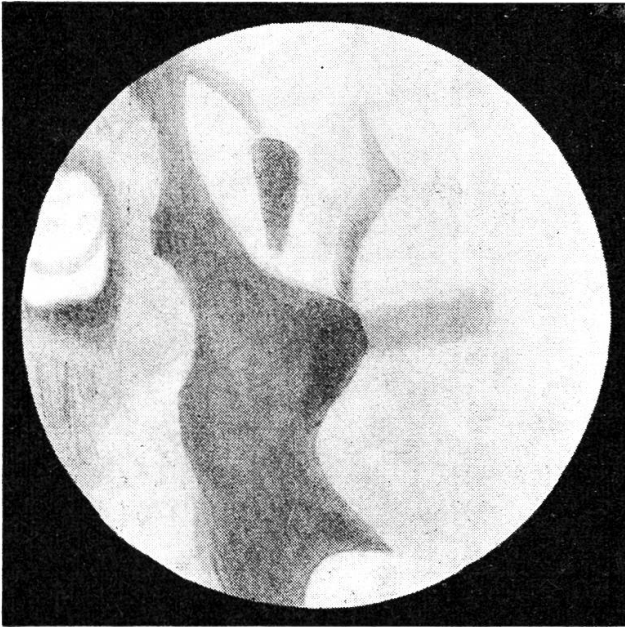
Observateur: E. Antonini, Genève  
 Réfract. Equat. 162 mm



⑤  
Août 16, 1 h. 40  
 $\omega = 192^{\circ}, 6$ ,  $\varphi = -19^{\circ}, 4$ ,  $D = 22'' , 8$ .  
 $Ph = 0'' , 9$ ,  $\eta = 332^{\circ}$ .  
 $220 \times$ . Im. = 5-6.

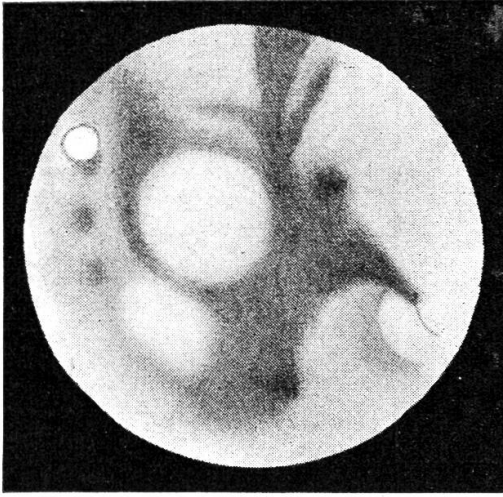
M. Cimmerium et  
M. Sirenium

Heures en T. U.



⑥  
Août 28, 23 h. 55  
 $\omega = 50^{\circ}, 4$ ,  $\varphi = -19^{\circ}, 1$ ,  $D = 24'' , 3$ .  
 $\eta = 340^{\circ}$ .  $220 \times$ . Im. = 4-5.

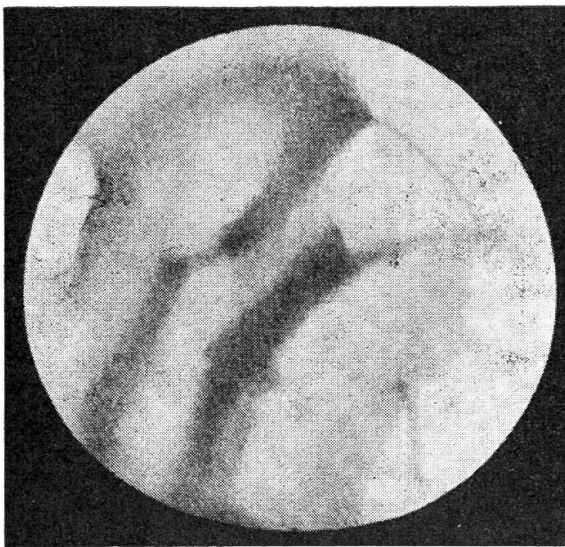
Margaritifer Sinus  
— Solis Lacus



⑦  
Octobre 16, 21 h. 10  
 $\omega = 302^{\circ}$ ,  $\varphi = -21^{\circ}, 5$ .  
 $D = 19'' , 2$ ,  $Ph = 1'' , 1$ .  
 $\eta = 10^{\circ}$ ,  $220 \times$ . Im. = 4-5.

Grande Syrte

Observateur: E. Antonini, Genève  
Réfr. 162 mm



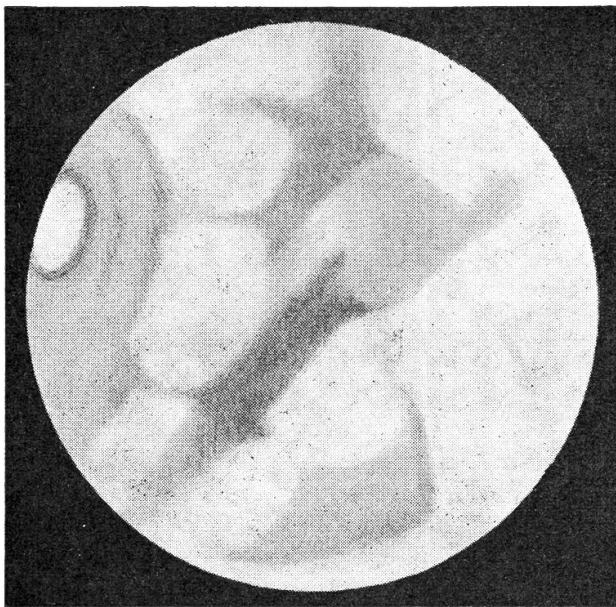
⑧

Août 13, 1 h. 50

 $\omega = 222^{\circ}$ ,  $\varphi = -19^{\circ}5$ ,  $D = 22''2$ . $Ph = 1''$ ;  $\eta = 330^{\circ}$ . $220 \times$ . Im. = 6-7.

Région des Mers  
Cimmerienne et Tyrrhénienne

Heures en T. U.

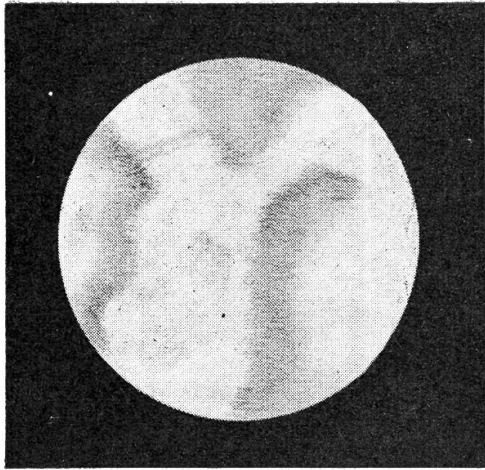
Observateur: E. Antonini, Genève  
Réfr. 162 mm

⑨

Septembre 15, 22 h. 35

 $\omega = 246^{\circ}5$ ,  $\varphi = -19^{\circ}4$ ,  $D = 24''4$ . $\eta = 351^{\circ}$ ,  $220 \times$ . Im. = 5.

Région des Mers  
Cimmerienne et Tyrrhénienne

Observateur: E. Antonini, Genève  
Réfr. 162 mm

⑩

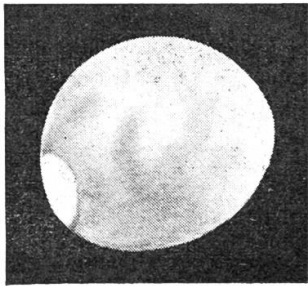
Septembre 12, 21 h.

 $\omega = 235^{\circ}$ .

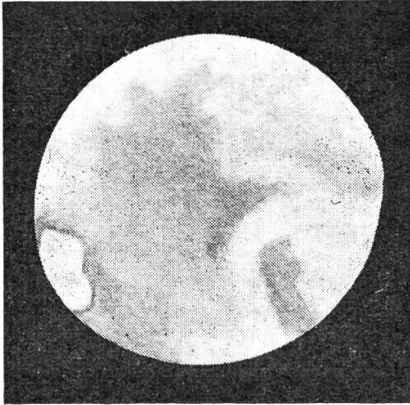
Région des Mers  
Cimmerienne et Tyrrhénienne

Observateur: M. Keller  
Réflecteur 300 mm

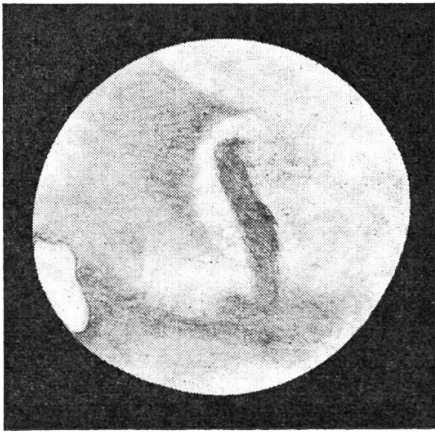




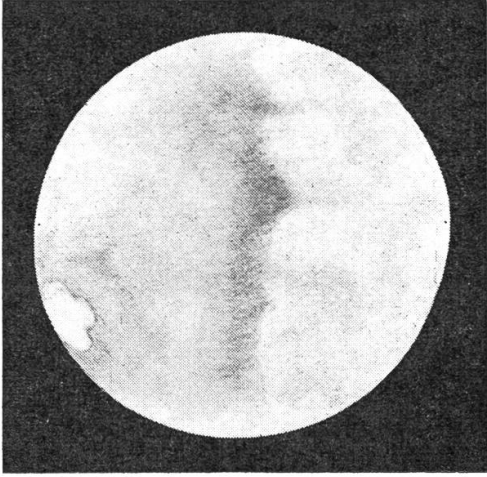
⑪



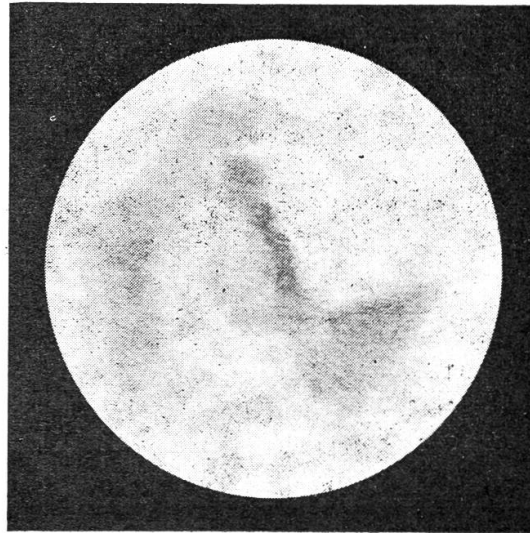
⑫



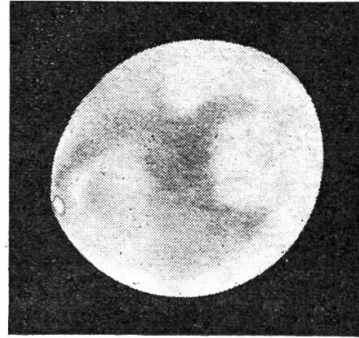
⑬



⑭



⑮



⑯

- 11 Juin 14 1956, 3 h. 00.  $\omega = 84^\circ$ . Im. 4. 305  $\times$
- 12 Juillet 27 1956, 1 h. 30.  $\omega = 13^\circ 6'$ . Im. 5. 245  $\times$
- 13 Août 1 1956, 2 h. 30.  $\omega = 341^\circ 7'$ . Im. 3. 203  $\times$
- 14 Août 16 1956, 23 h. 30.  $\omega = 152^\circ$ . Im. 4. 245  $\times$
- 15 Sept. 5 1956, 23 h. 00.  $\omega = 326^\circ$ . Im. 4. 245  $\times$
- 16 Nov. 8 1956, 19 h. 00.  $\omega = 46^\circ 3'$ . Im. 2. 245  $\times$

Observateur: S. Cortesi, Lugano  
 Réflecteur 250 mm

Heures en T. U.

Un filtre jaune-orange de Zeiss fut parfois utilisé avec succès par images médiocres et pâles, permettant de mieux situer les limites des «mers».

*Lugano*: Le meilleur oculaire s'est démontré le 7,5 mm orthoscop. de la «Materialzentrale» de notre société, donnant un grossissement de  $245\times$ , bien que la plupart du temps le  $203\times$  (oculaire de 9 mm) et même le  $183\times$  (oculaire de 10 mm) fussent pleinement suffisants pour montrer le peu de détails visibles. Le diaphragme du miroir à 200 mm s'est démontré quelquefois utile et des expériences personnelles nous ont démontré que l'emploi d'un 250 mm dans ces conditions ne donne guère de meilleurs résultats qu'un modeste 120 mm.

Voici les principales constatations faites:

*Calotte polaire australe*: Très étendue à fin mai — début juin (une cinquantaine de degrés) et entourée d'une frange sombre large et intense, elle commença à se fractionner vers la fin juin: *Depressio Magna*, puis *Rima Australis* furent aperçues dès le 26 juin (Fig. 1, 2). Vers la fin de juillet sa forme devenait irrégulière: *Novissima Thyle* et *Mons Argenteus* formant des proéminences bien évidentes (Fig. 2, 12, 13). Vers la mi-août *Thyles Mons* apparaissait nettement détaché (Fig. 5), puis fin-août, début septembre, la calotte perdit son éclat et fut même parfois invisible: à sa place se trouvaient plusieurs vagues blancheurs (Fig. 3, 15). A la mi-septembre elle avait réapparu, diminuée, mais de nouveau éclatante (Fig. 9). Fin septembre on la voyait en entier, ce qui indiquait une dimension inférieure à  $20^{\circ}$  aréographiques (en fait,  $14^{\circ}$  env.). Enfin, à la mi-octobre elle était nettement éloignée du limbe (Fig. 4, 7), pour redevenir tangente à ce dernier vers le 20 du même mois, ce qui s'explique par le fait bien connu qu'elle est excentrée. De plus en plus petite pendant les mois d'octobre et novembre, on pouvait encore l'apercevoir, minuscule mais bien visible, le 8 novembre (Fig. 16).

*Région du Sinus Sabaeus*: Ce fut la région la plus intéressante à suivre, en raison des transformations qu'on put y constater au cours de l'opposition: les 26 et 27 juin, *Hellespontus* était déjà remarquable, traînée sombre intense descendant de la calotte jusqu'à l'extrémité précédente du *Sinus Sabaeus*. *Mare Serpentis* était également bien visible, le *Pandorae Fretum* par contre était presque inexistant (Fig. 1). Ce dernier était déjà un peu plus marqué à fin juillet (Fig. 2, 13). Au début de septembre, il était devenu énorme, noyant *Mare Serpentis* dans sa masse. Par contre, *Hellespontus* s'était considérablement affaibli (Fig. 3, 4).

*Deucalionis Regio*, de la même intensité que *Noachis* à fin juin, s'était fortement assombrie en septembre, et encore plus en octobre (Fig. 3, 4).

*Région de Solis Lacus*: Ce lac, vu pour la première fois très sombre le 14 juin (Fig. 11), est constamment demeuré intense et

bien marqué. Tithonius Lacus par contre, est resté toujours assez faible (Fig. 6, 11). La région Sud de Thaumasia s'était assombrie le 30 septembre, ainsi que le canal Bathys.

Sur le dessin No. 11 on peut noter Solis Lacus lié à Mare Erythraeum par la large traînée de Nectaris; au dessus de Solis L., le Bosphorus évident et bordant la calotte polaire, termine dans Aonius Sinus, bien sombre. La large traînée du Bosphorus était remarquable le 8 novembre (Fig. 16). A cette date le Ganges était aussi bien visible joignant Aurorae Sinus (très sombre) à Lunae Lacus (invisible ou toutefois très faible).

*Région de Syrtis Major:* Cette formation, la plus accessible à une petite lunette, n'a pu malheureusement être observée dans des conditions un peu favorables que vers la mi-octobre, c'est-à-dire à une époque où le disque de la planète était déjà bien diminué. Elle était étroite et assez sombre. Le Deltoton Sinus parut étendu et foncé (Fig. 7).

*Région de Mare Cimmerium — Mare Tyrrhenum:* Une traînée, partant de la pointe Nord de Mare Cimmerium, était aperçue le 5 juillet déjà, se dirigeant vers une pointe sombre de l'hémisphère boréal que nous n'avons pas pu identifier avec certitude, mais que nous croyons être le nouveau lac nommé «Nodus Laocoontis» sur la carte ALPO publiée par le «Sky and Telescope» de septembre. Le 13 août nous notions une traînée semblable partant de la Petite Syrte et aboutissant au même point (Fig. 8). Le 15 septembre, tout le triangle compris entre ces deux traînées s'était assombri (Région d'Amenthès), formant comme une seconde Grande Syrte (Fig. 9). Le dessin No. 10 de M. Keller, Genève, montre aussi cette grisaille, qui a été fort bien revue encore les 19 et 22 octobre.

*Nuages:* Le 4 juillet une projection nuageuse a été vue sur le terminateur. Le nuage devait se trouver au dessus d'Eridania. Le 31 août, par images malheureusement très mauvaises (cote 3) mais qui permettaient cependant de reconnaître facilement Margaritifer Sinus et Aurorae Sinus, le S. Meridiani était invisible, oblitéré par un voile jaunâtre. Cette observation fut confirmée ensuite par la publication, dans la D. O. B. de la circulaire U. A. I. No. 1564, signalant la nuée jaune, vue par les astronomes d'un Observatoire hindou sur le Sinus Meridiani, le 29 août.

Enfin, la disparition déjà signalée de la calotte polaire, au début de septembre, doit provenir vraisemblablement d'un phénomène météorologique analogue. Le dessin No. 3 du 5 septembre montre d'ailleurs plusieurs blancheurs au pôle Sud.

*Colorations:* A part la couleur générale rose-jaune des régions désertiques et le gris plus ou moins sombre des traînées, une seule observation avec le réflecteur de 250 mm porte la mention de couleurs nettement aperçues: le 5 septembre: Syrtis Major vert-gris très évident; Aeria-Arabia rose-saumon.

E. Antonini — S. Cortesi